

連続鉄筋コンクリート舗装設計のための力学モデルについて

金沢大学 正員 ○ 西沢辰男
佐藤道路 正員 松野三朗
東北大学 正員 福田 正

1. 考え方

連続鉄筋コンクリート舗装(CRC舗装)は、コンクリート舗装の構造上の弱点となる横方向の目地を省くことにより、乗り心地の改善、舗装の維持管理の楽減などの利点をもつている。しかしながらCRC舗装においては、鉄筋の効果によって、コンクリートの乾燥収縮、温度変化により、建設後初期段階にあらかじめ横断方向のひびわれが生ずる。すなわち、供用中のCRC舗装は、ある間隔にあらかじめ横断ひびわれが生じてなる不連続構造物といふことができる。このようして連続性を失った舗装の力学的取り扱いは難しく、CRC舗装の設計法はかなり経験的要素が多い。

本研究の目的は、横断ひびわれが生じ、不連続となるCRC舗装の力学的挙動を考慮した、より合理的な設計のための力学モデルを開発することである。

2. 解析モデル

さきにも述べたように、CRC舗装はあらかじめ横断ひびわれを持つ不連続構造と考えることができる。このようして連続性を考慮することができる解析手法としてはFEMがあり、舗装の構造解析にも利用されている。¹⁾ CRC舗装をFEMで解析する際に問題となるのは、横断ひびわれの取り扱いである。本研究では、ひびわれ部分の荷重伝達能力を3つの線形ばねでモデル化を行い、4つの節点をもつひびわれ要素を考えた(Fig. 1)。

Fig. 2に示すように、CRC舗装は、一定間隔に配置されたひびわれ要素と、その間の長方形平板要素に分割される。またCRC舗装においては、横断ひびわれの存在のためにコンクリート版自身の荷重分散能力が劣るため、路盤の果たす役割が比較的高い。したがって、このことを考慮に入れるために、路盤はBurmisterの多層弹性理論によってモデル化した。

3. 数値計算結果

2で述べた解析モデルを用い、郡山国道で施工されたCRCの試験舗装を例にとって数値計算を行った。この試験舗装は、施工後綿密に調査が行われ、その結果が報告されている。²⁾ Fig. 3に計算に用いた構造を示す。なお横断ひびわれは60cmの間隔に発生しているとした。

本解析モデルにおいて問題となるのは、ひびわれの剛性、すなわちひびわれ要素のばね定数の具体的な値である。この値は、実測データと計算結果とを比較することにより求

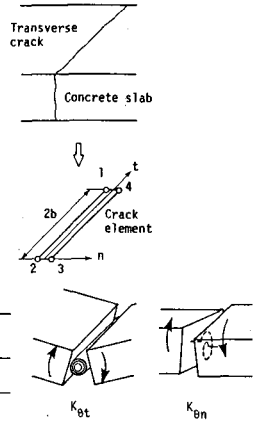


Fig. 1 Crack element and its characteristics.

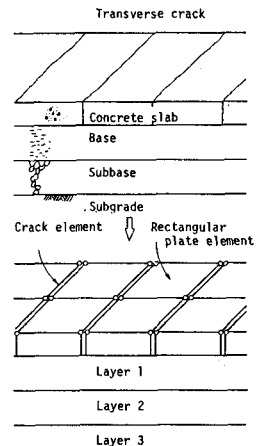


Fig. 2 Slab model for CRC pavement.

めはりねばならない。今回は実測されたベンケルマニアームのたわみ測定の結果より、ばね定数の値を推定した。Fig. 4は、せん断ばね定数 K_w の値を変化させて CRC に生ずるたわみと応力を計算した結果を示している。図中に測定されたベンケルマニアームによるたわみの値も示されている。この図から、 K_w の値をある程度大きくすると、たわみの値が一定となる。しかもその値は実測値を上まわることとなることがわかる。 $K_w = 50,000 \text{ kg/cm}^2$ とし、他のばね定数 K_{bt} 、 K_{bn} の値を変化させて同様の計算を行った。その結果を Fig. 5 に示す。この図から、曲げのばね定数 K_{bt} がたわみや応力の値に大きく影響しており、 $K_{bt} = 10^6 \text{ kg}$ 程度とあると実測値とより一致を見ることができる。このことから、CRC 鋼装に発生している横断ひびわれはせん断伝達のみならず、ある程度の曲げの伝達を行なうことが推測される。レカレーナから、これらの値はひびわれの幅によってかなり変動することが予想され、今後さらに詳細な検討が必要である。

さて以上の結果に基づき、CRC 鋼装の力学的挙動について考察してみる。Fig. 6 は、横断ひびわれのない場合とある場合について荷重によって生ずる応力状態を比較したものである。この図から明らかのように、横断ひびわれの生じている CRC 鋼装においては、横断方向の引張応力が卓越しており、縦ひびわれの発生の可能性を示している。実際の CRC 鋼装においては、横断ひびわれの間に繋がりが生ずると急速に破壊が進行することが知られており、CRC 鋼装の設計にあたっては、この縦ひびわれの発生に注目する必要があろう。

〈参考文献〉 1) 西沢、松野; コンクリート鋼装の構造解析における有限要素法の適用性について、土木学会論文収集集、第 338 号、1973。
2) 郡山国道工事事務所; 郡山国道連続鋼筋コンクリート鋼装調査報告書、1978。

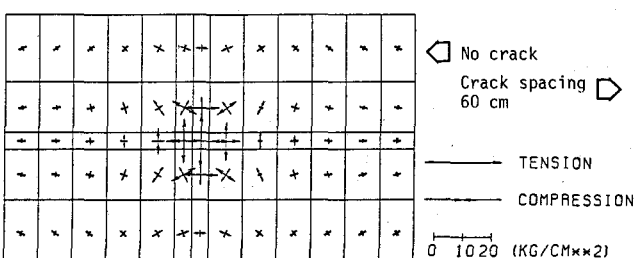


Fig. 6 Stress states of concrete slabs with and without transverse crack.

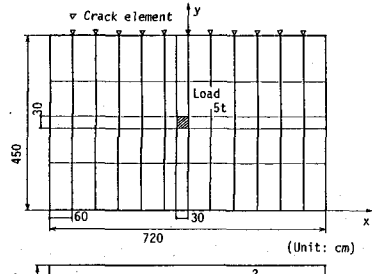


Fig. 3 Calculation model.

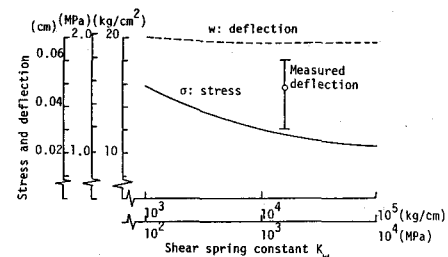


Fig. 4 Variations of stress and deflection of concrete slab with change of shear spring constant.

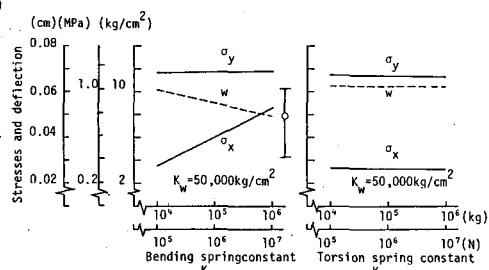


Fig. 5 Variations of stress and deflection of concrete slab with change of bending and torsion spring constants.

